

Fig. 1

2/27

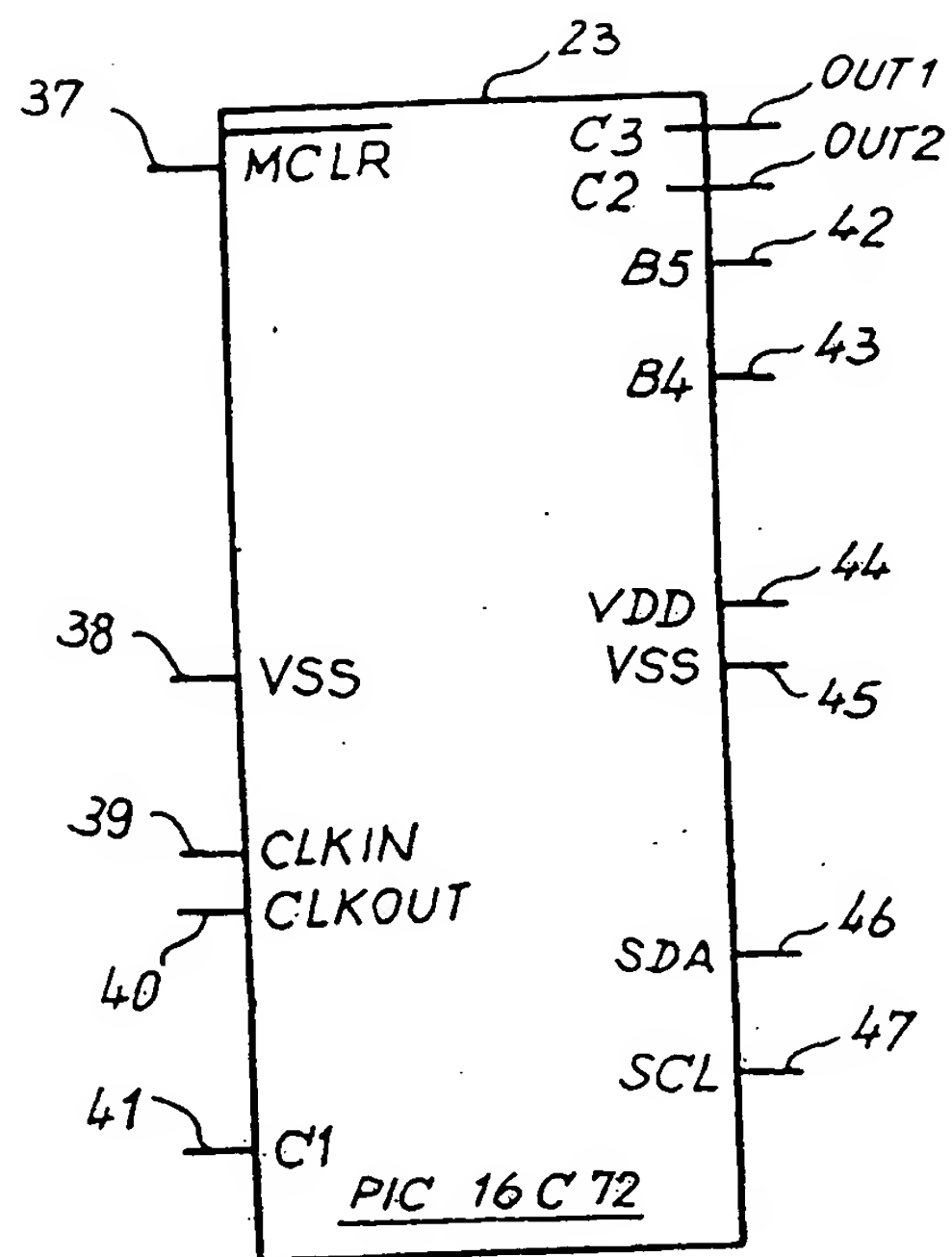


Fig. 2

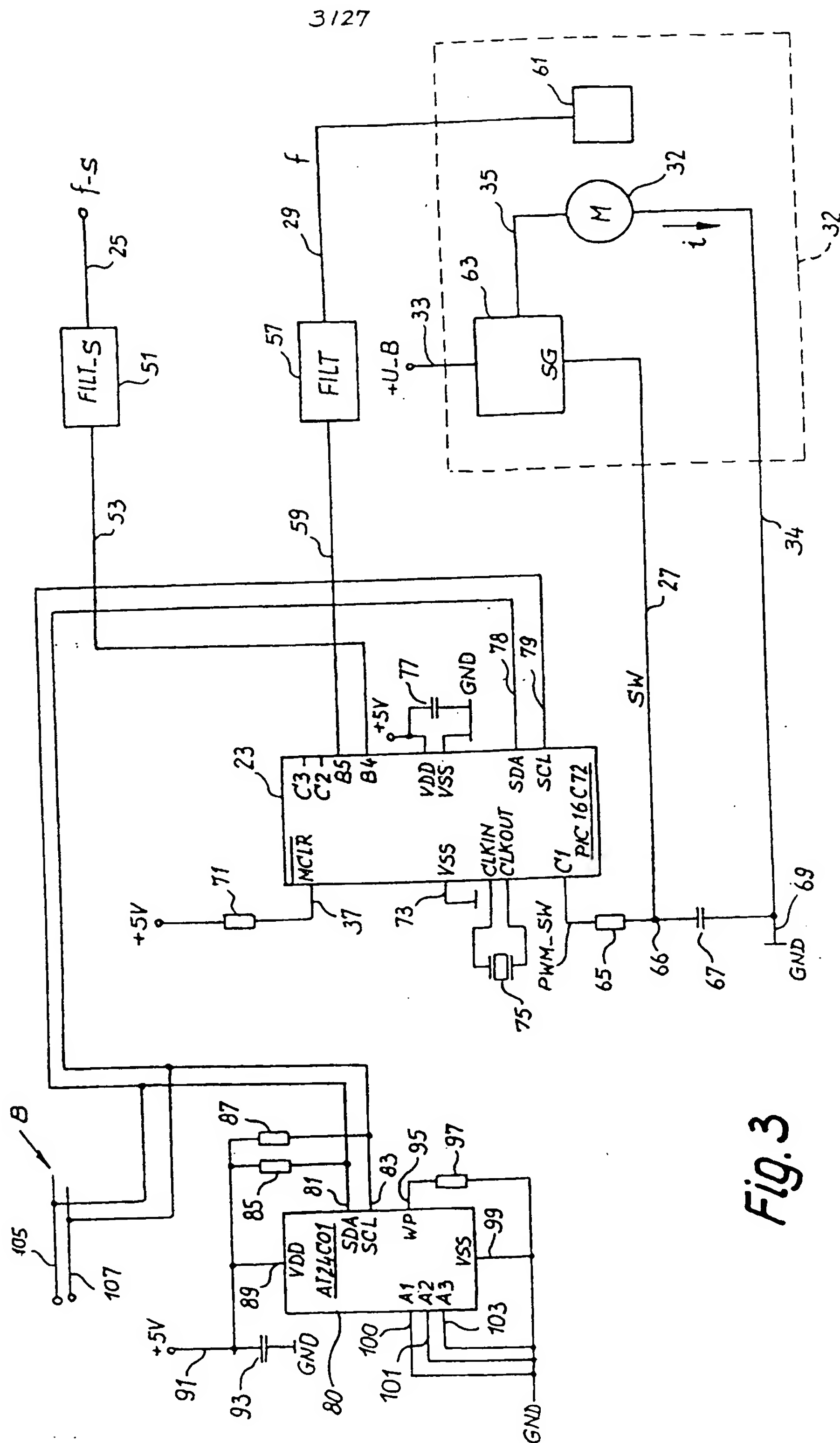
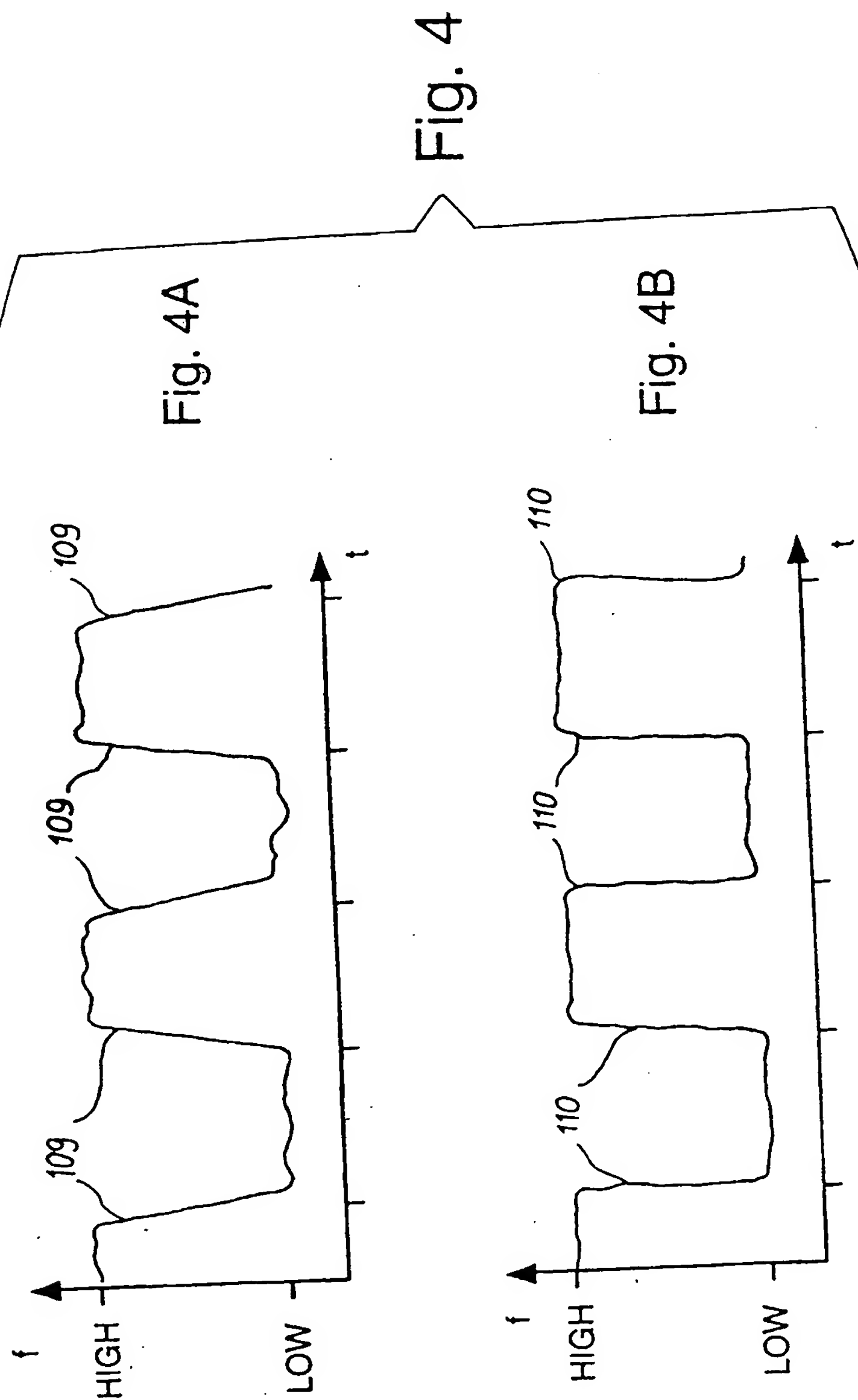
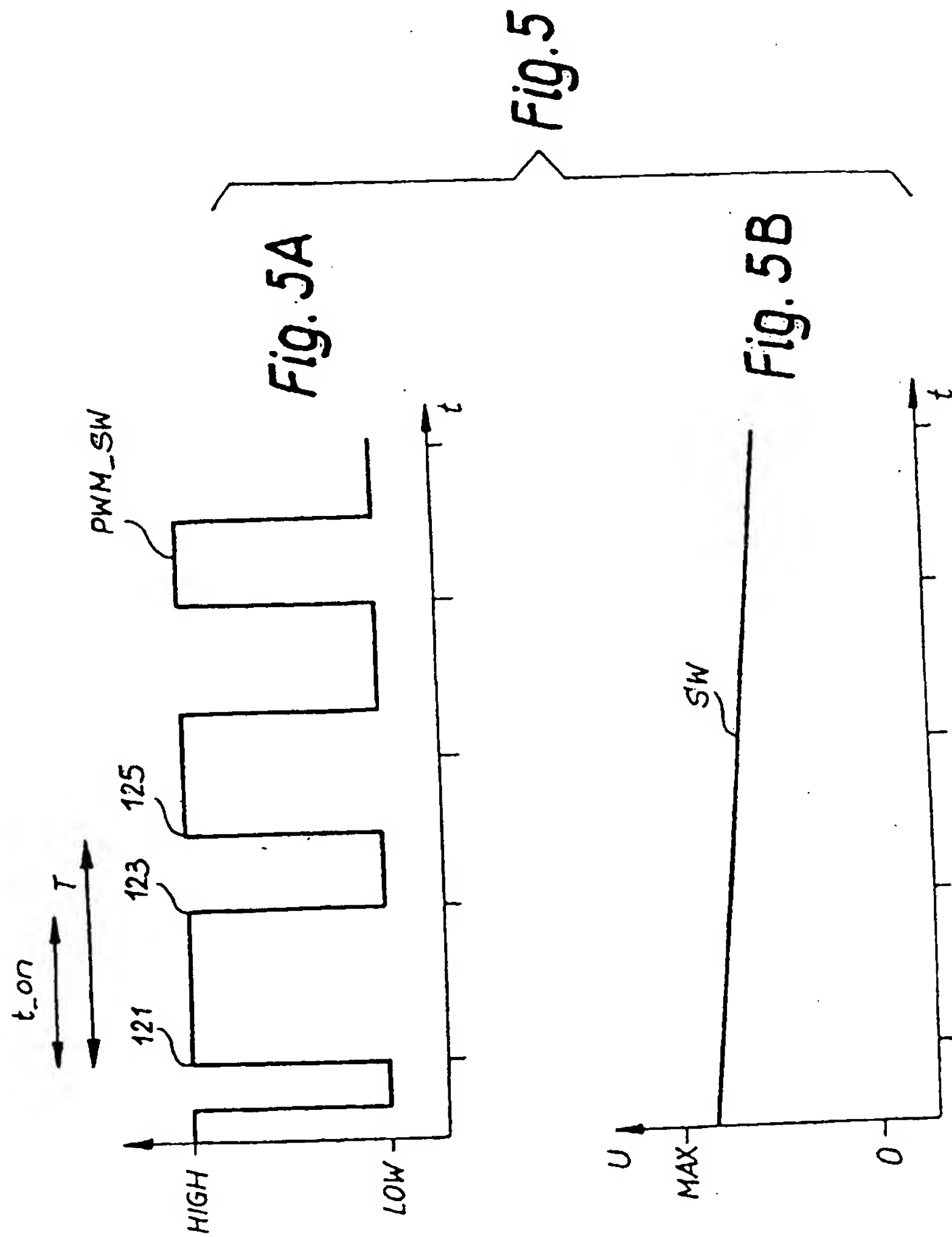


Fig. 3

4/27





6/27

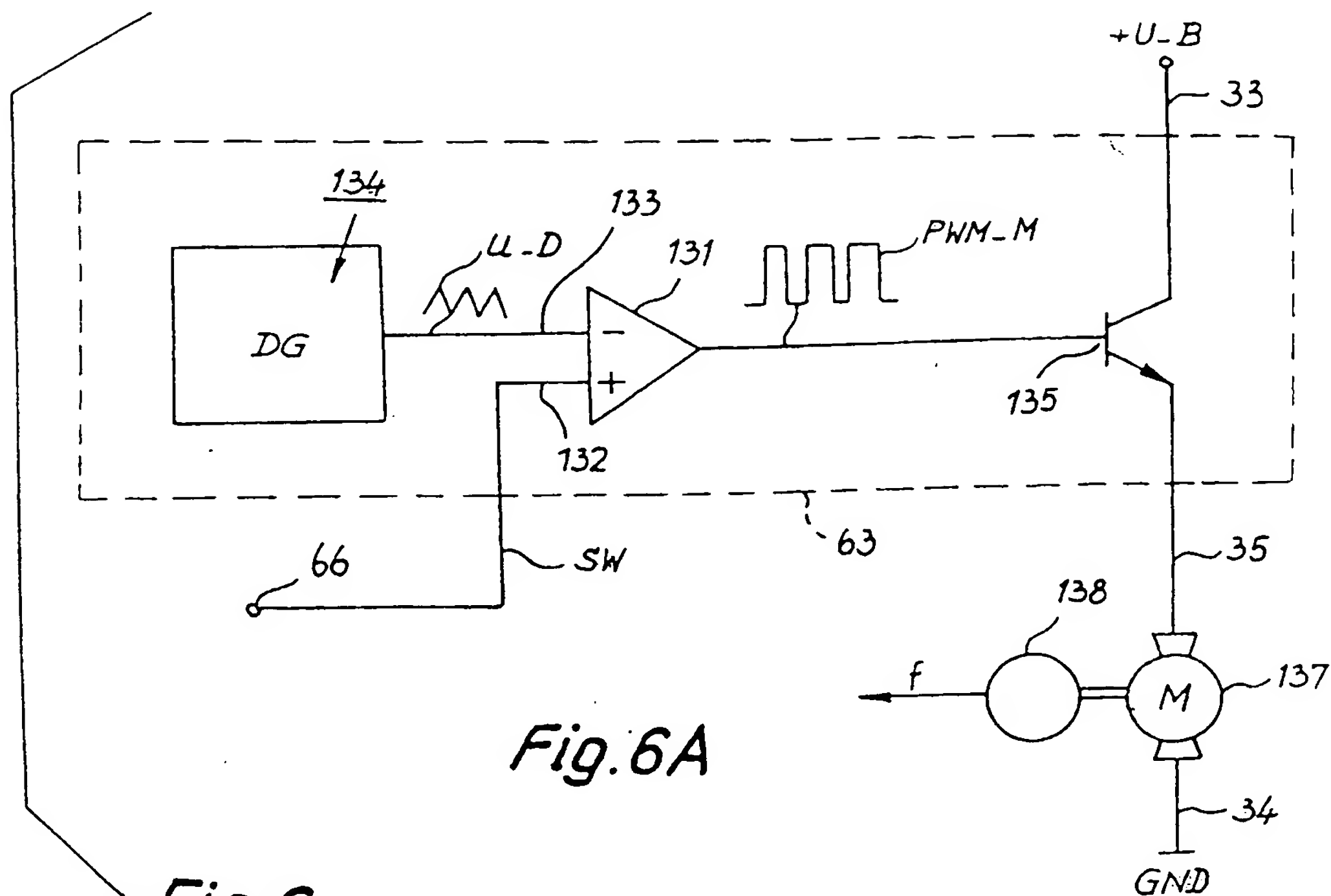


Fig. 6A

Fig. 6

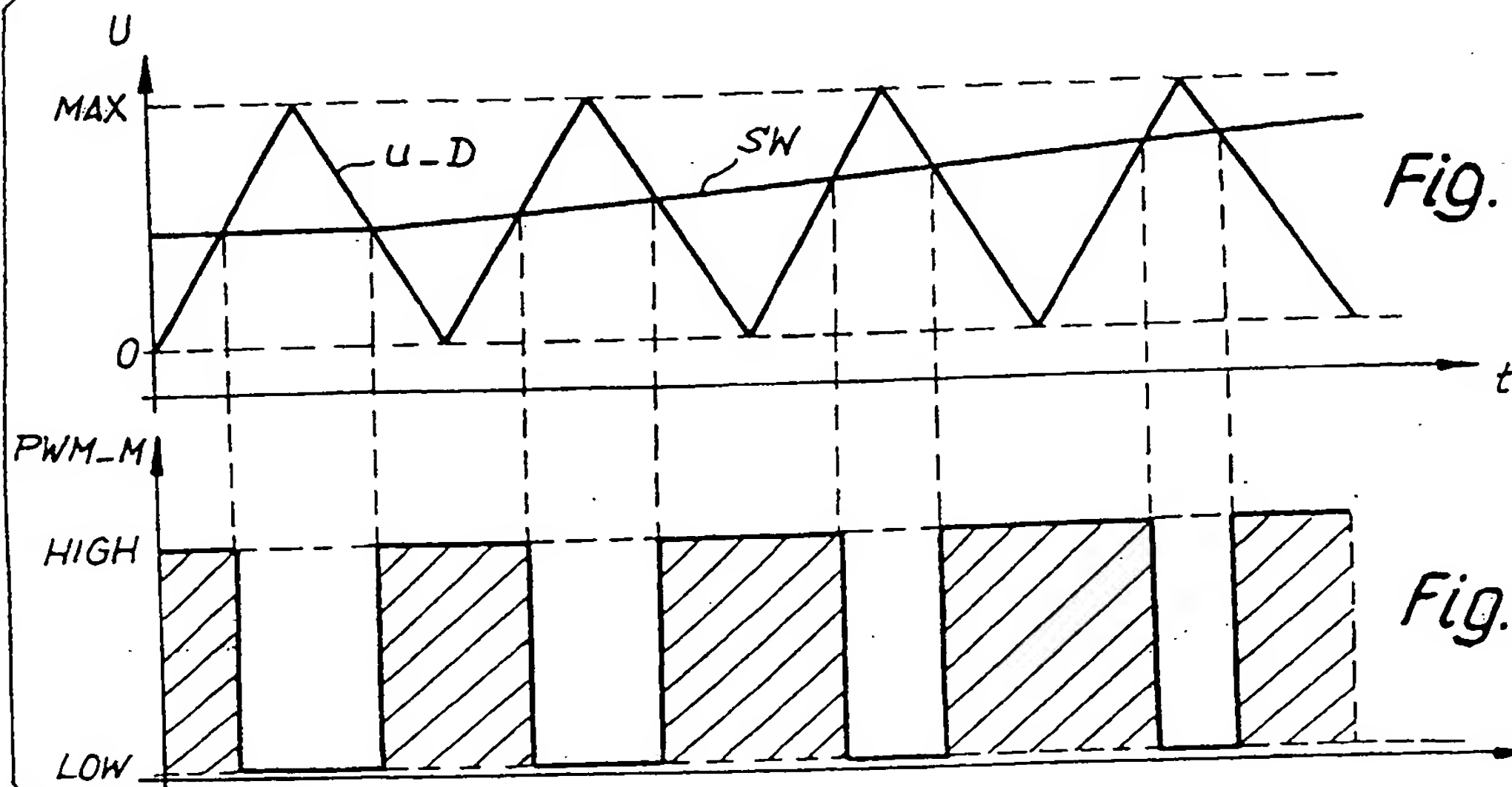


Fig. 6B

Fig. 6C

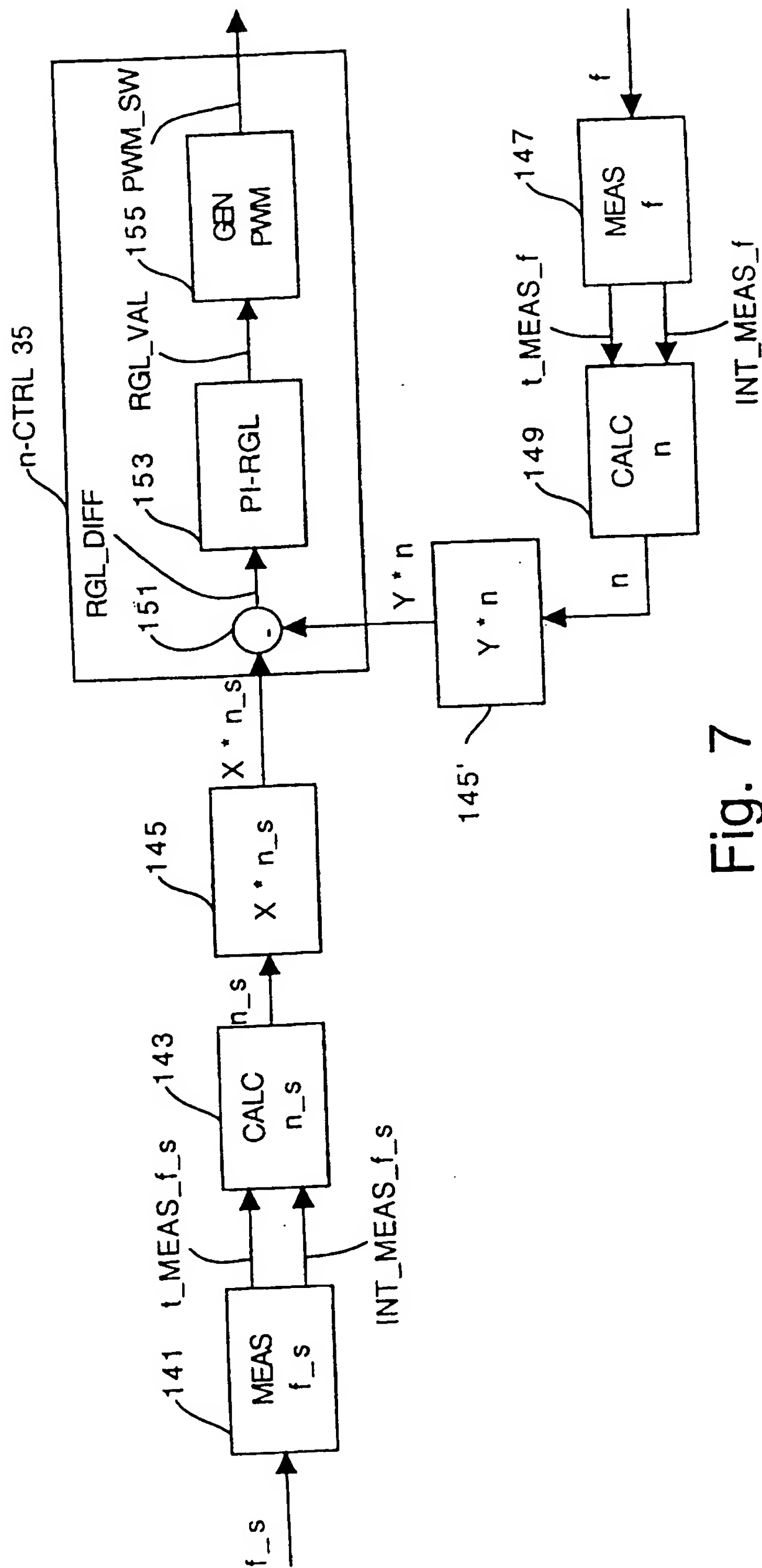


Fig. 7

8/27

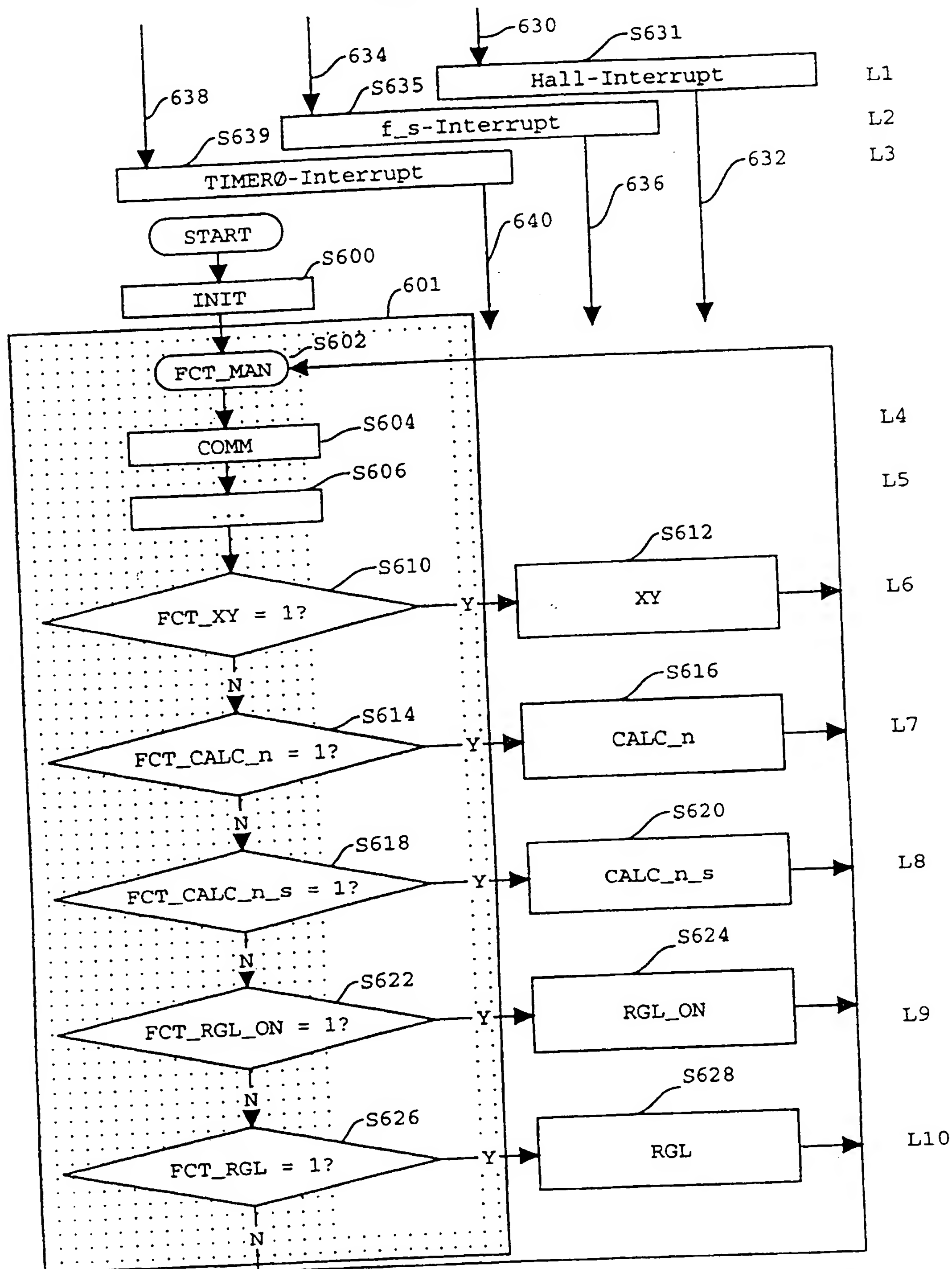


Fig. 8



9/27

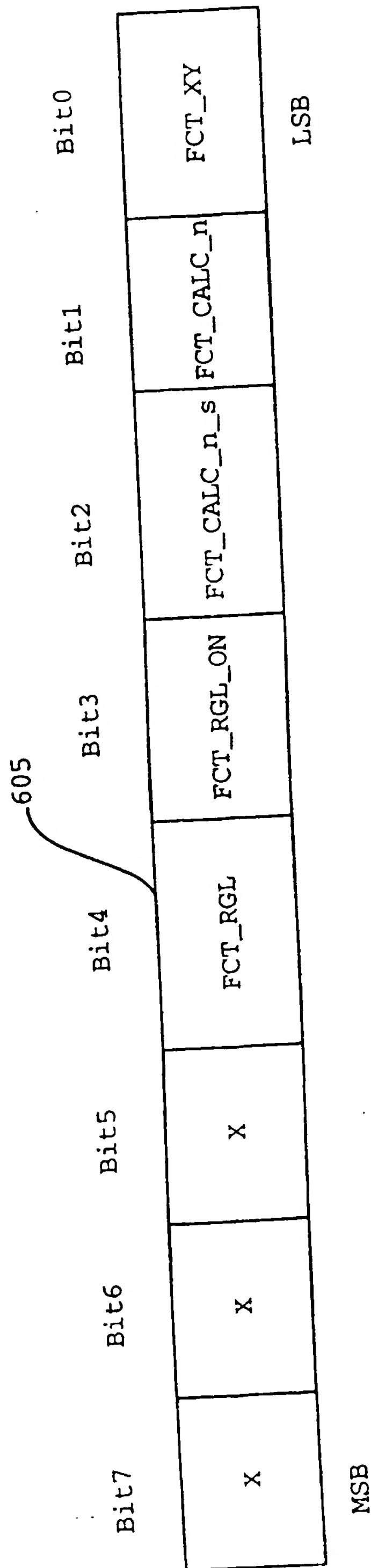


Fig. 9

10/27

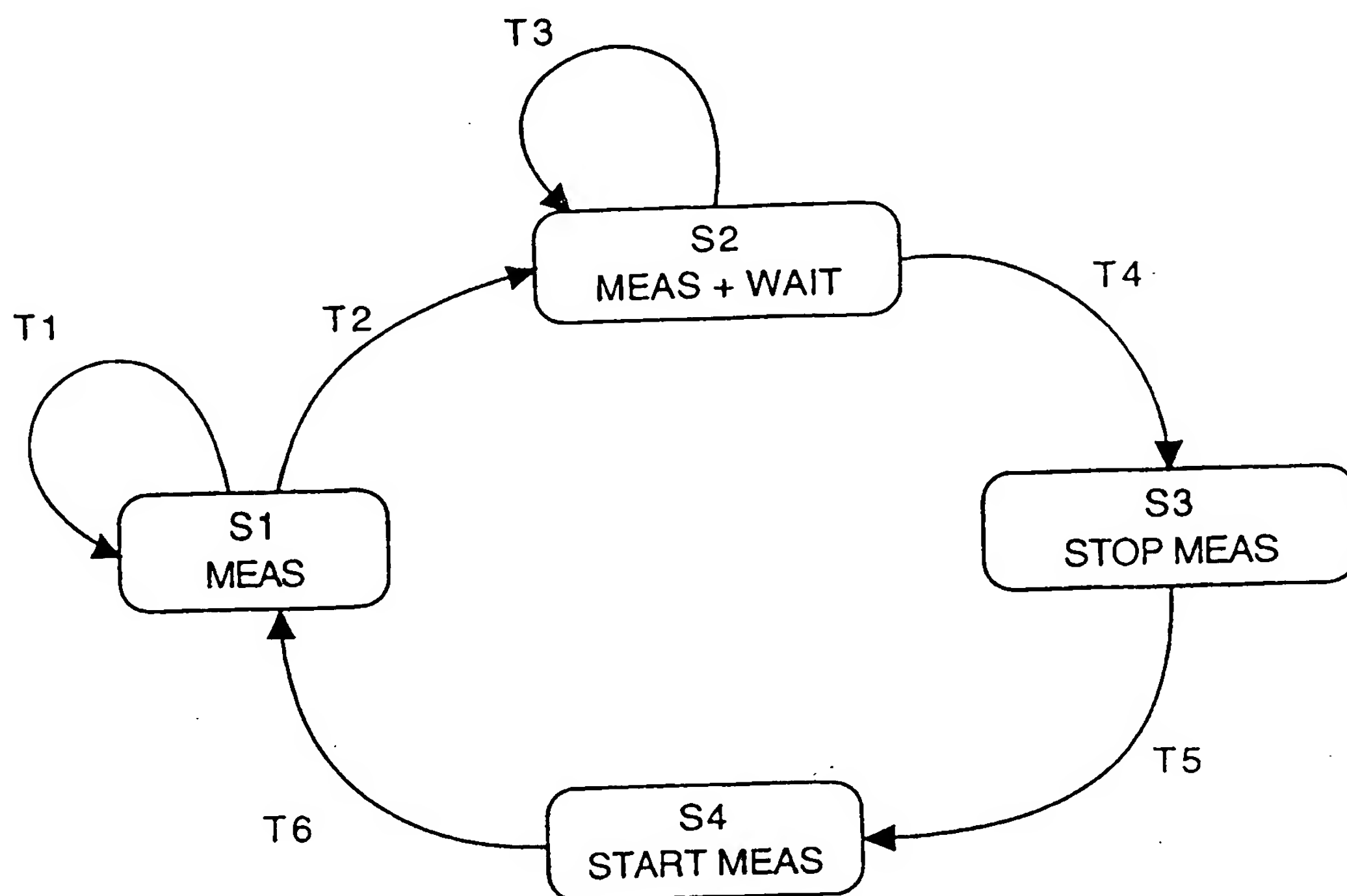


Fig. 10

11/27

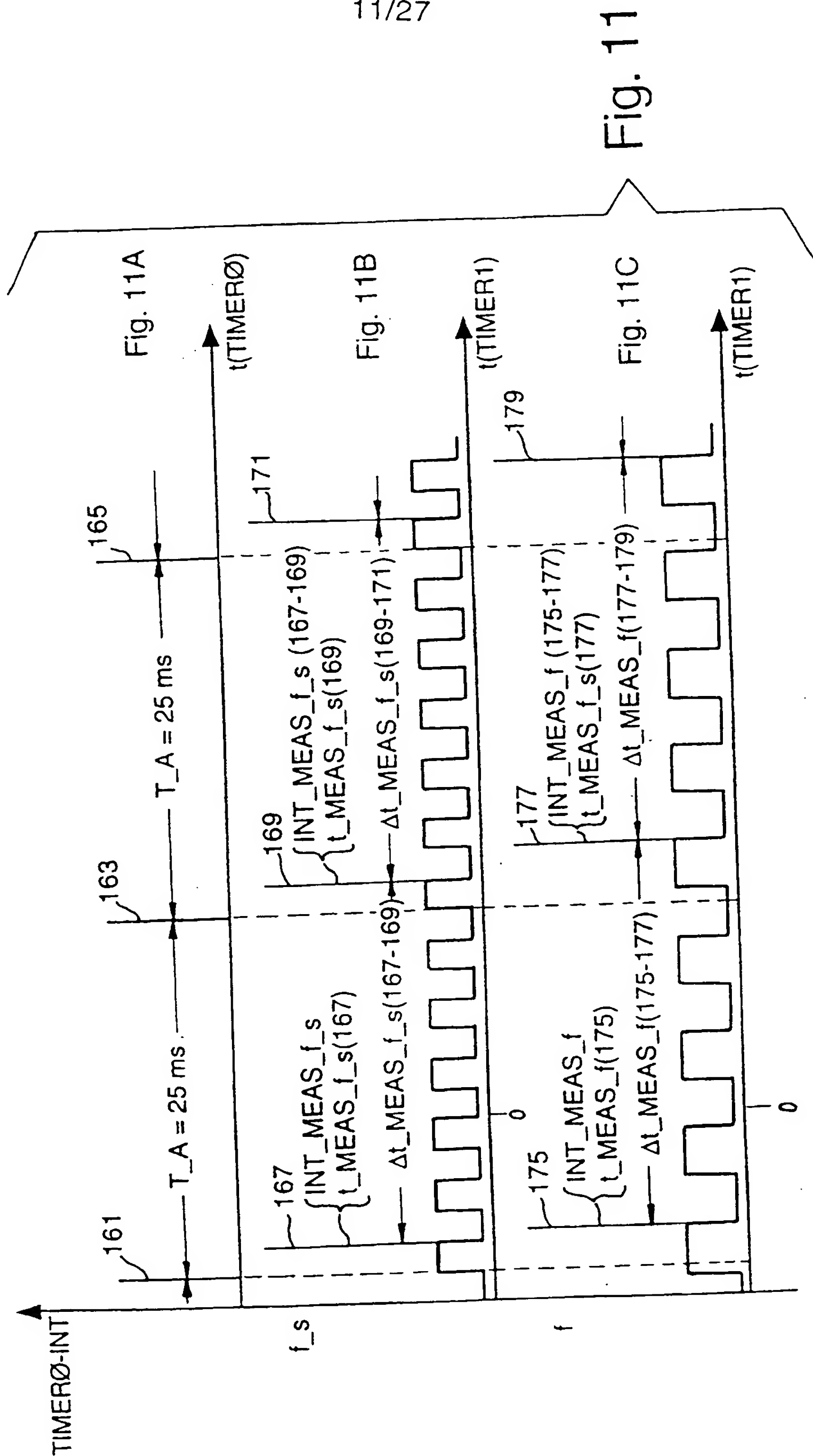


Fig. 11

12/27

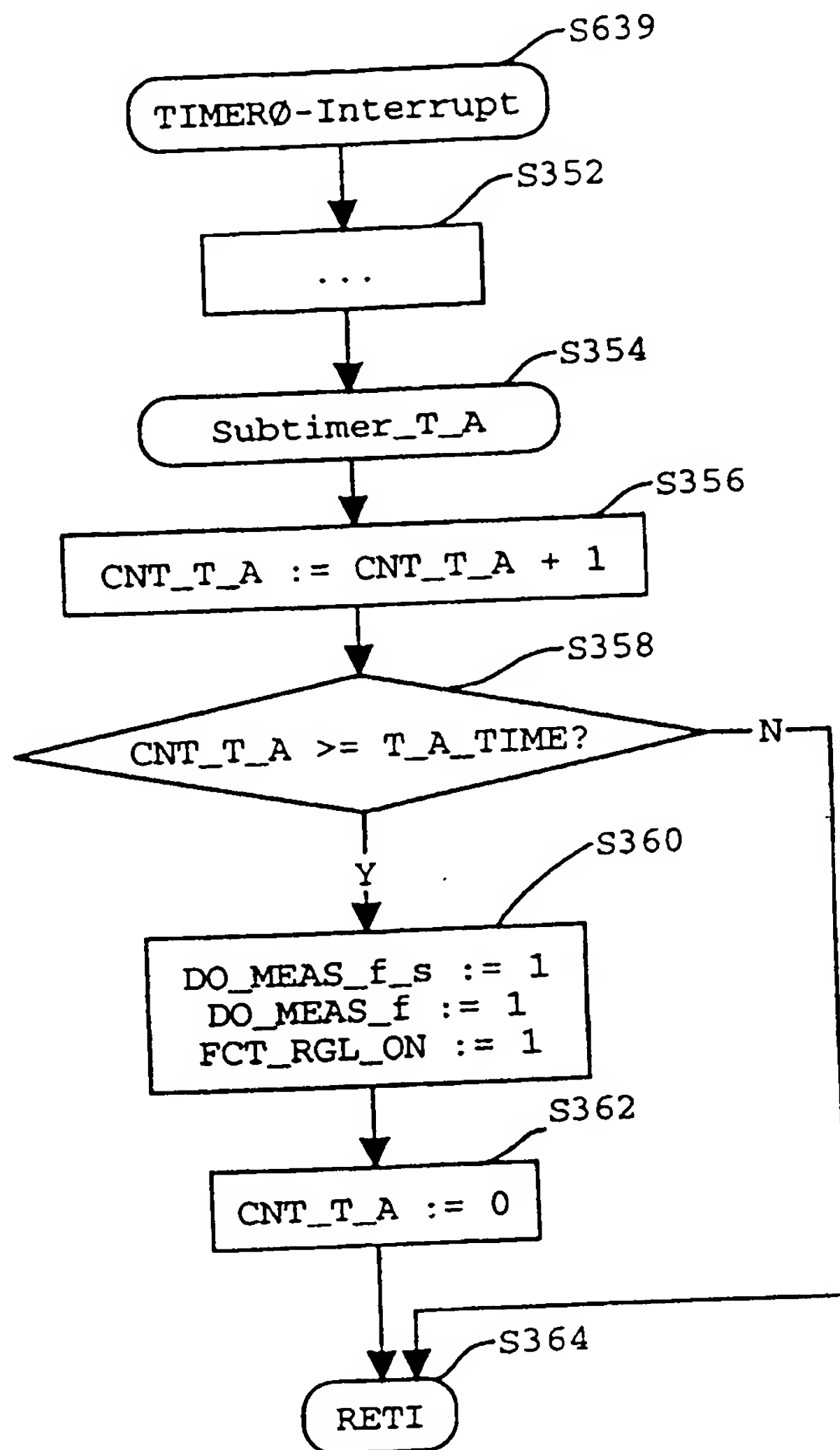


Fig. 12

13/27

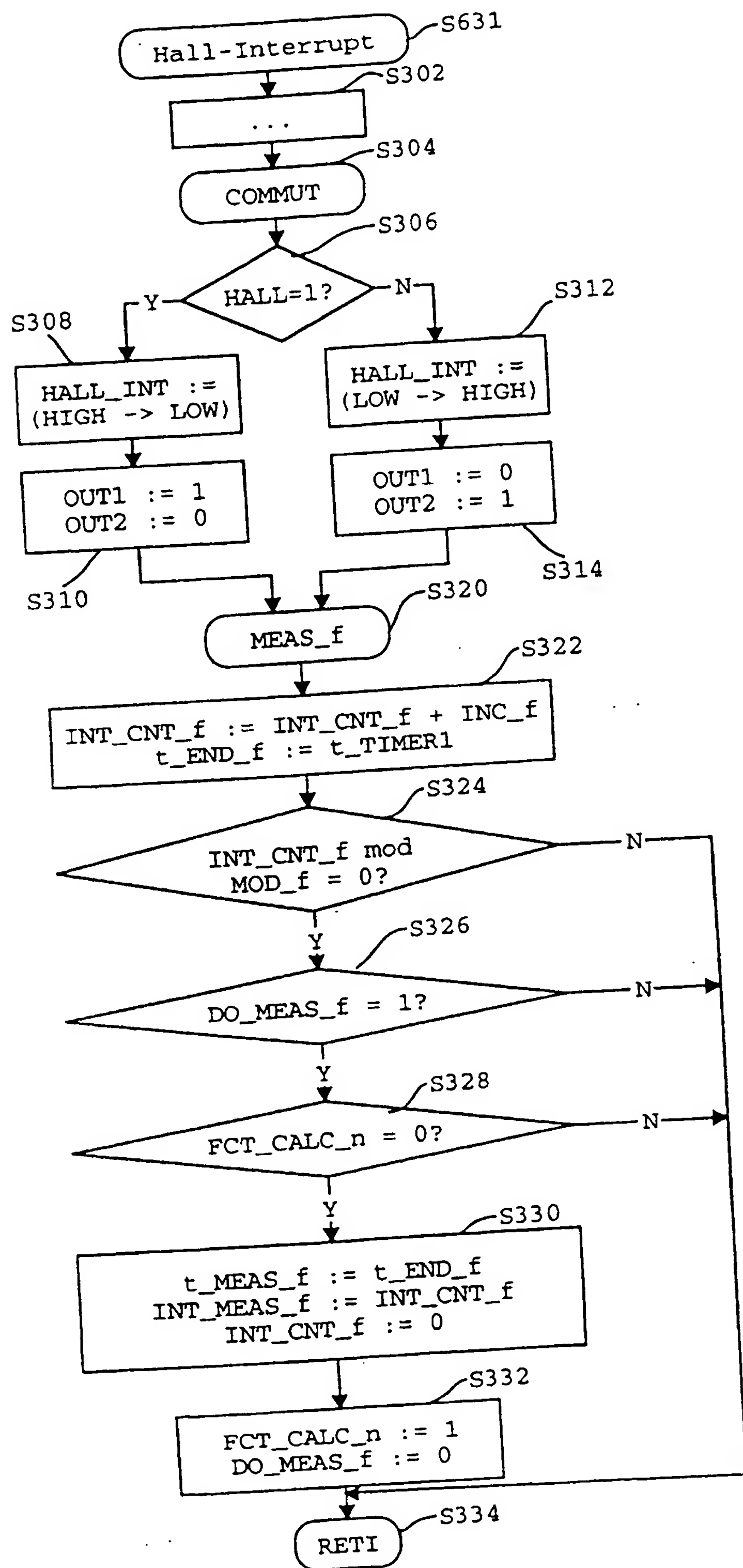


Fig. 13

14/27

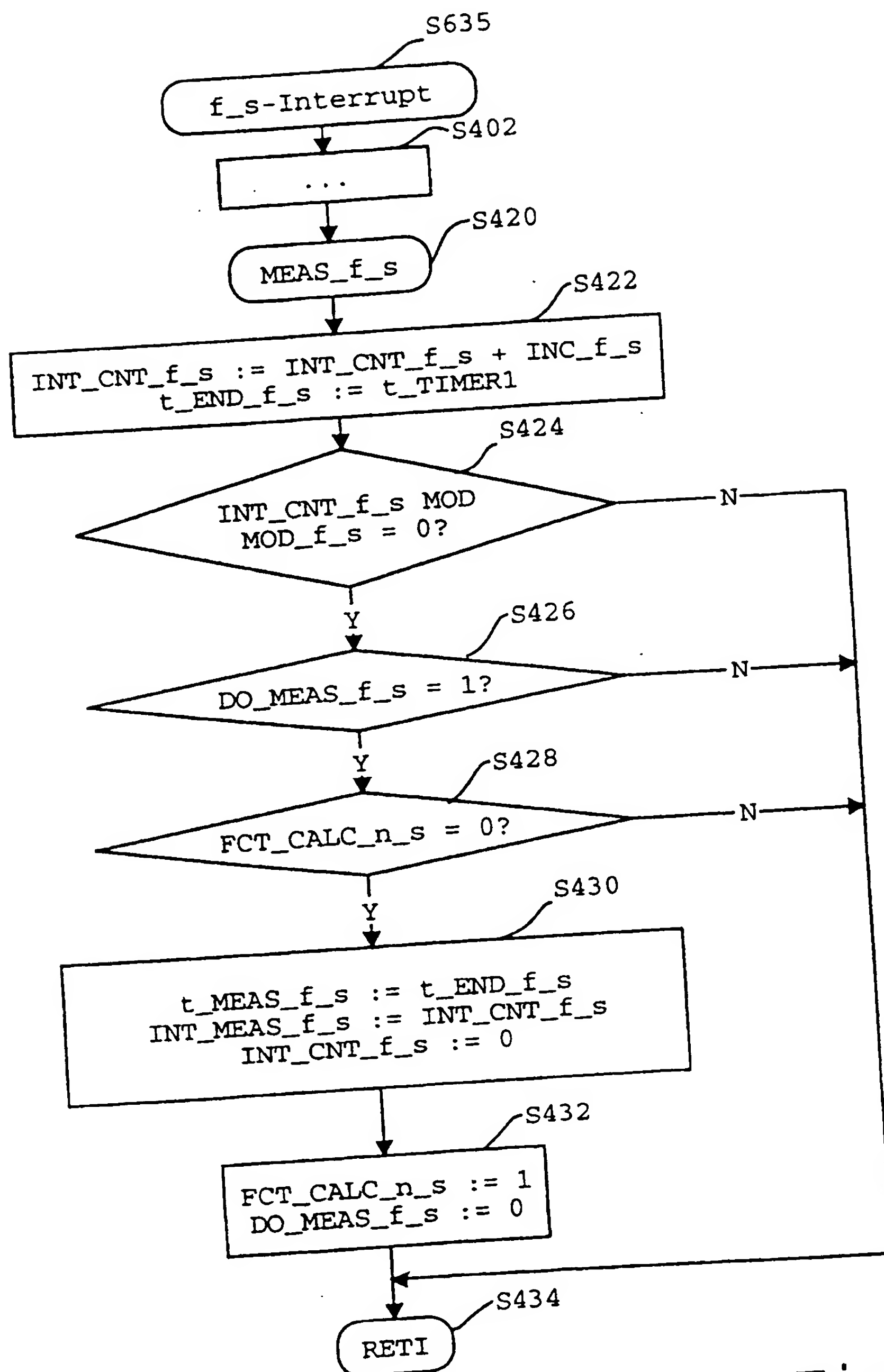


Fig. 14

15/27

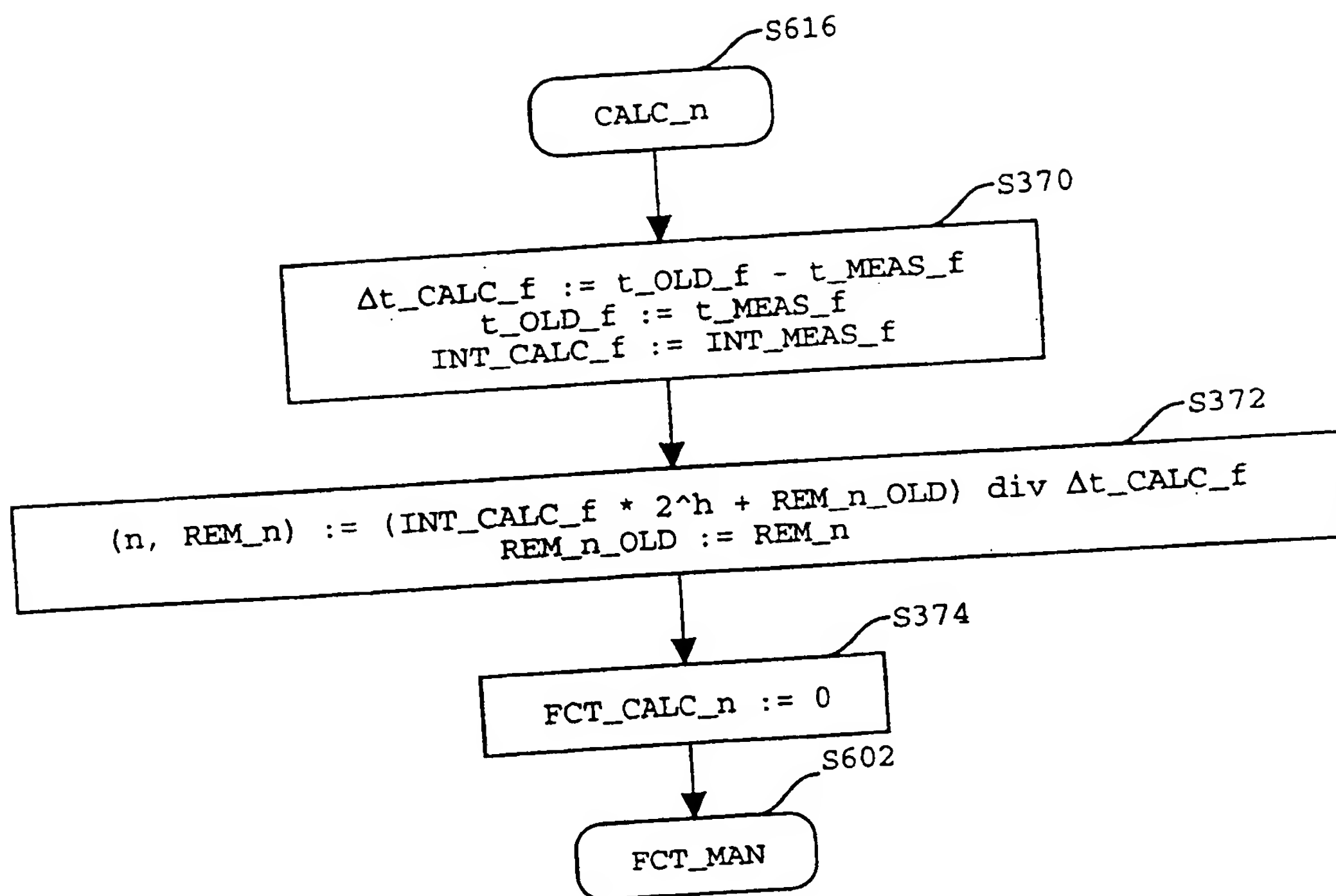


Fig. 15

16/27

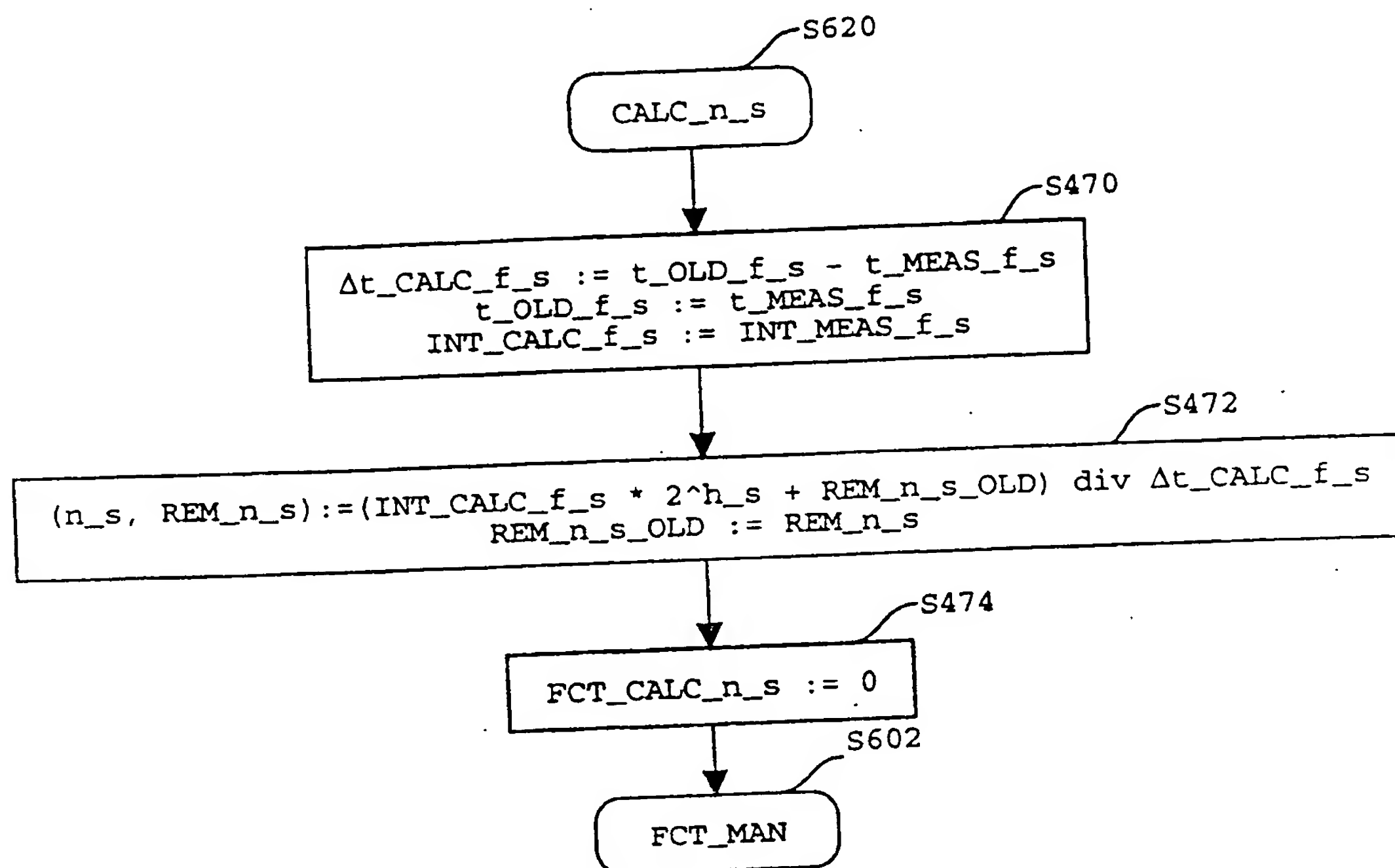


Fig. 16



17/27

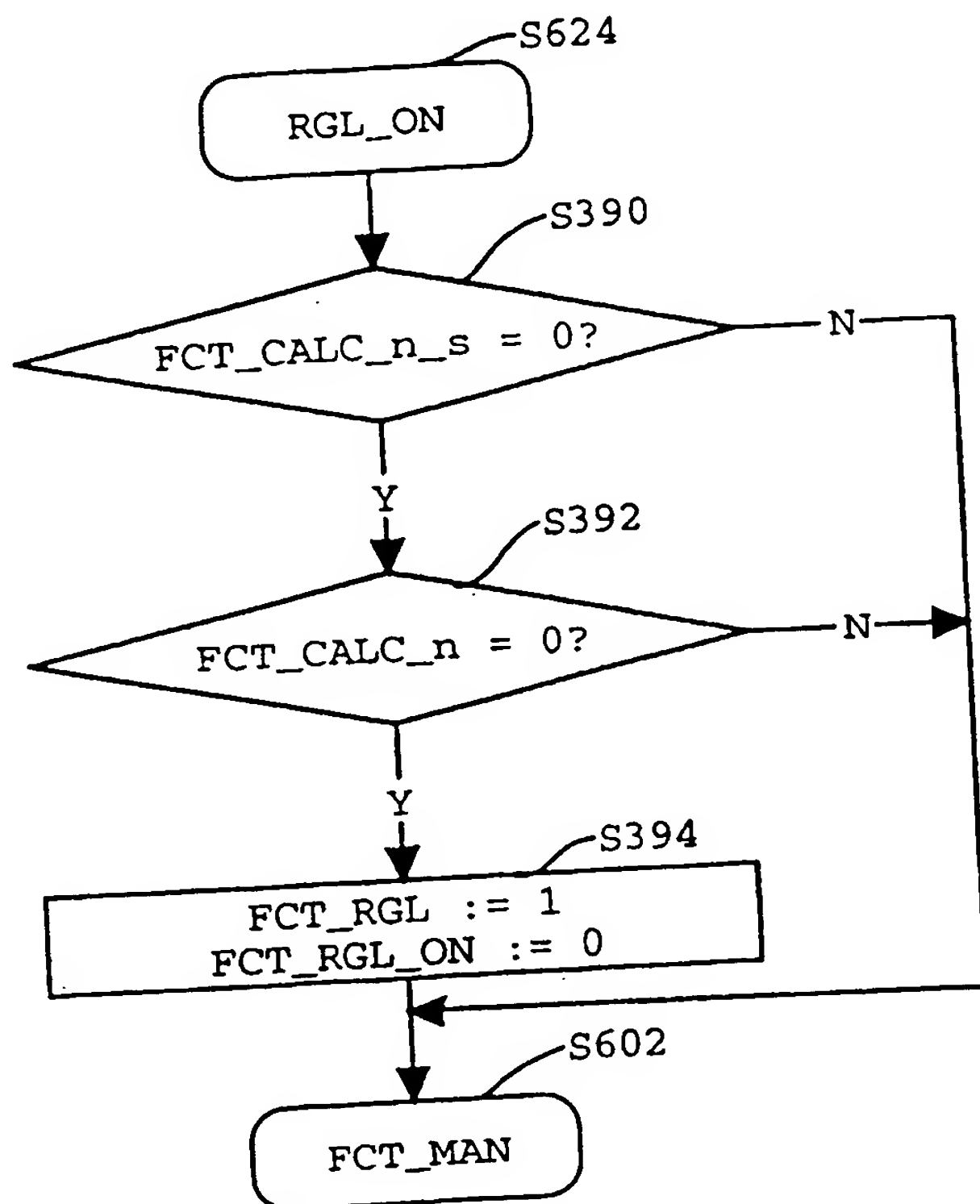


Fig. 17

18/27

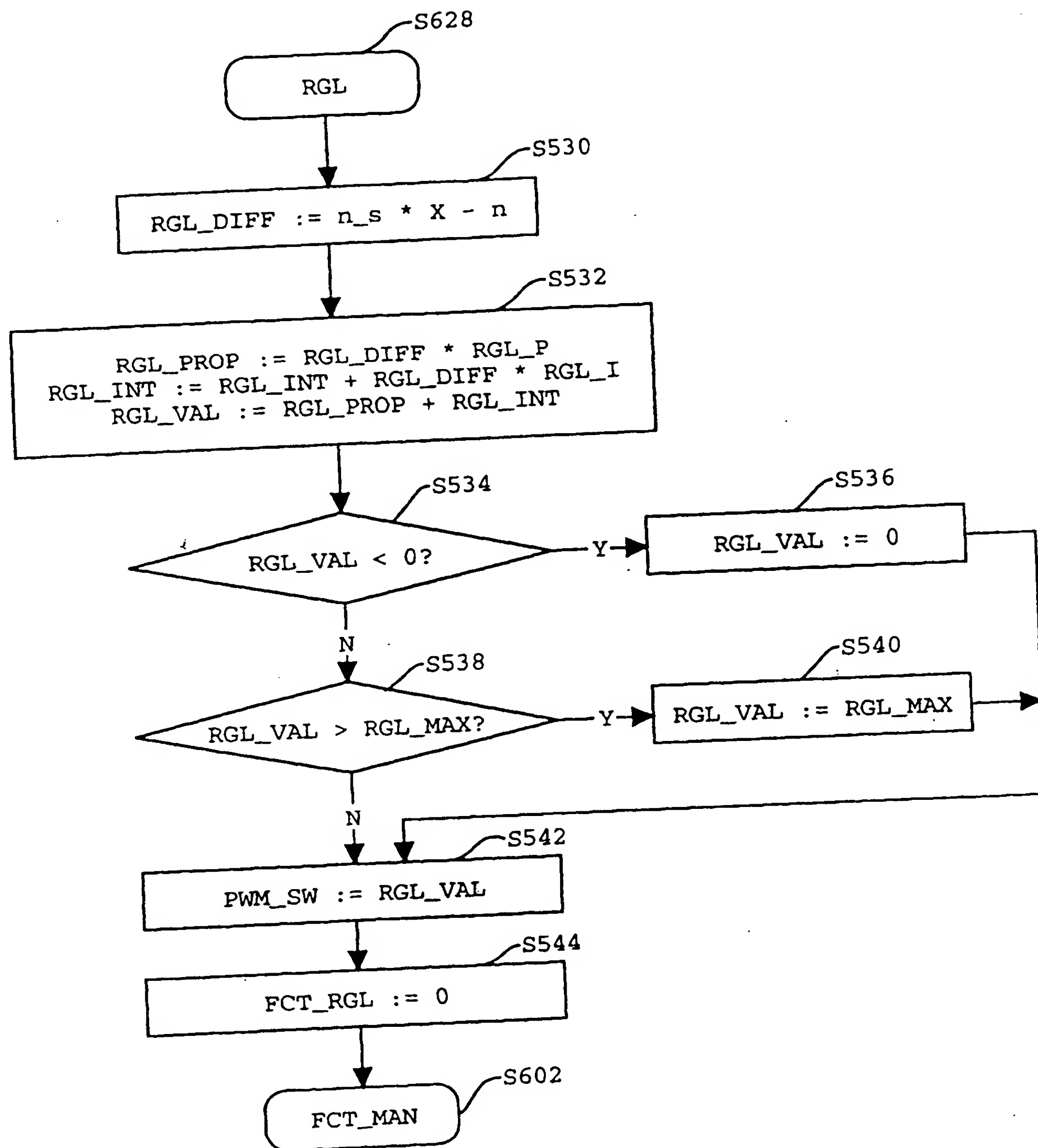


Fig. 18

19/27

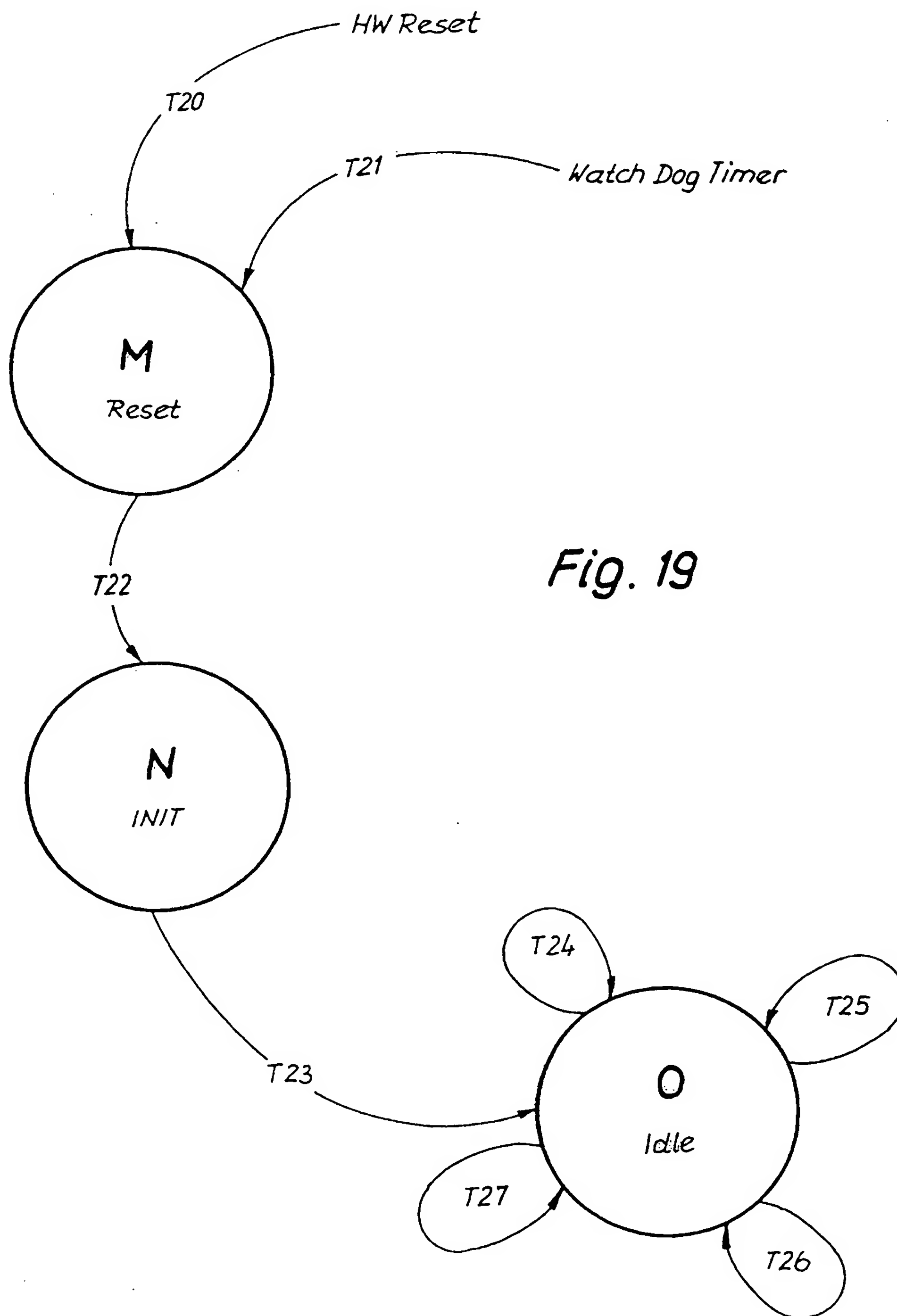


Fig. 19

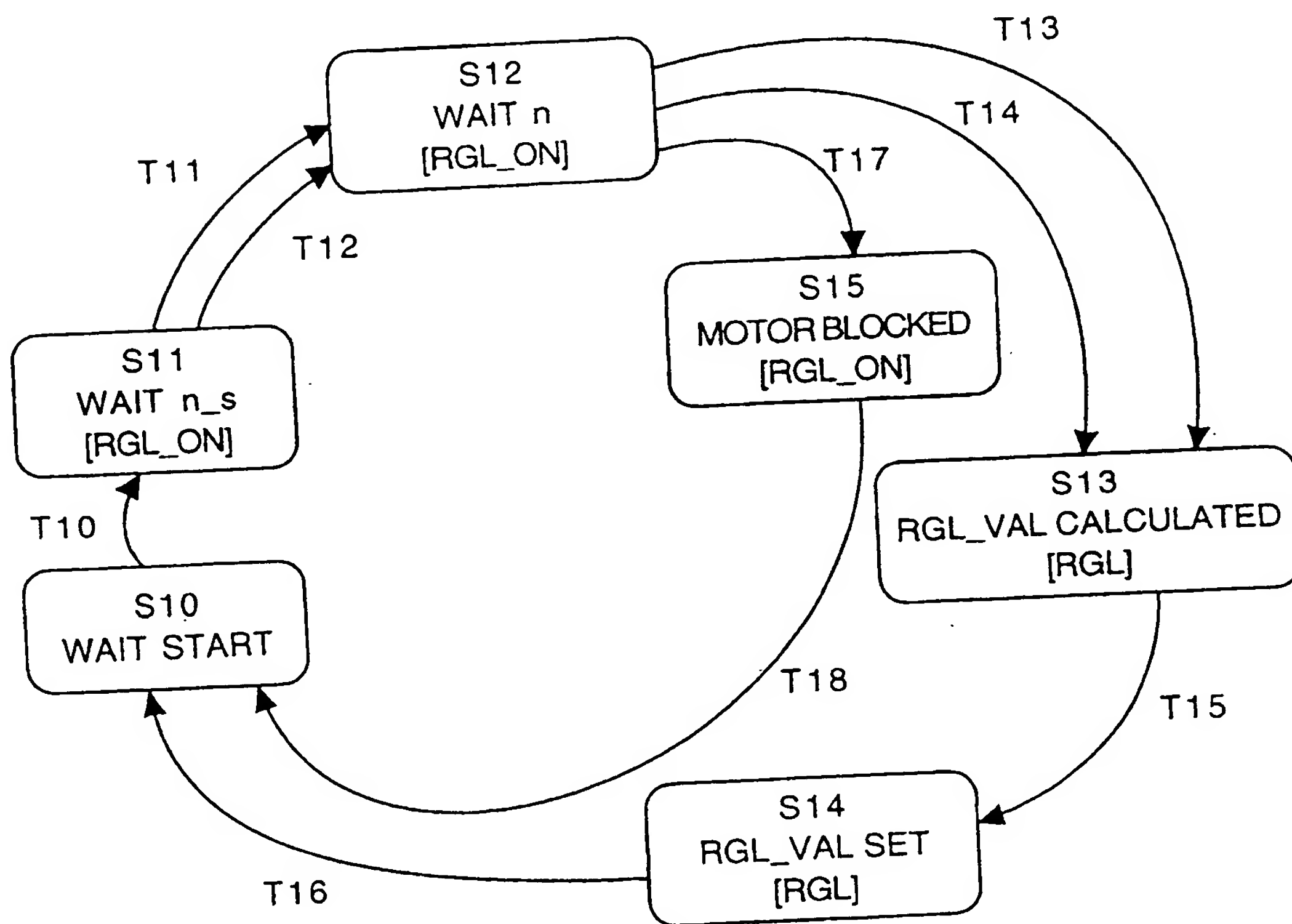


Fig. 20

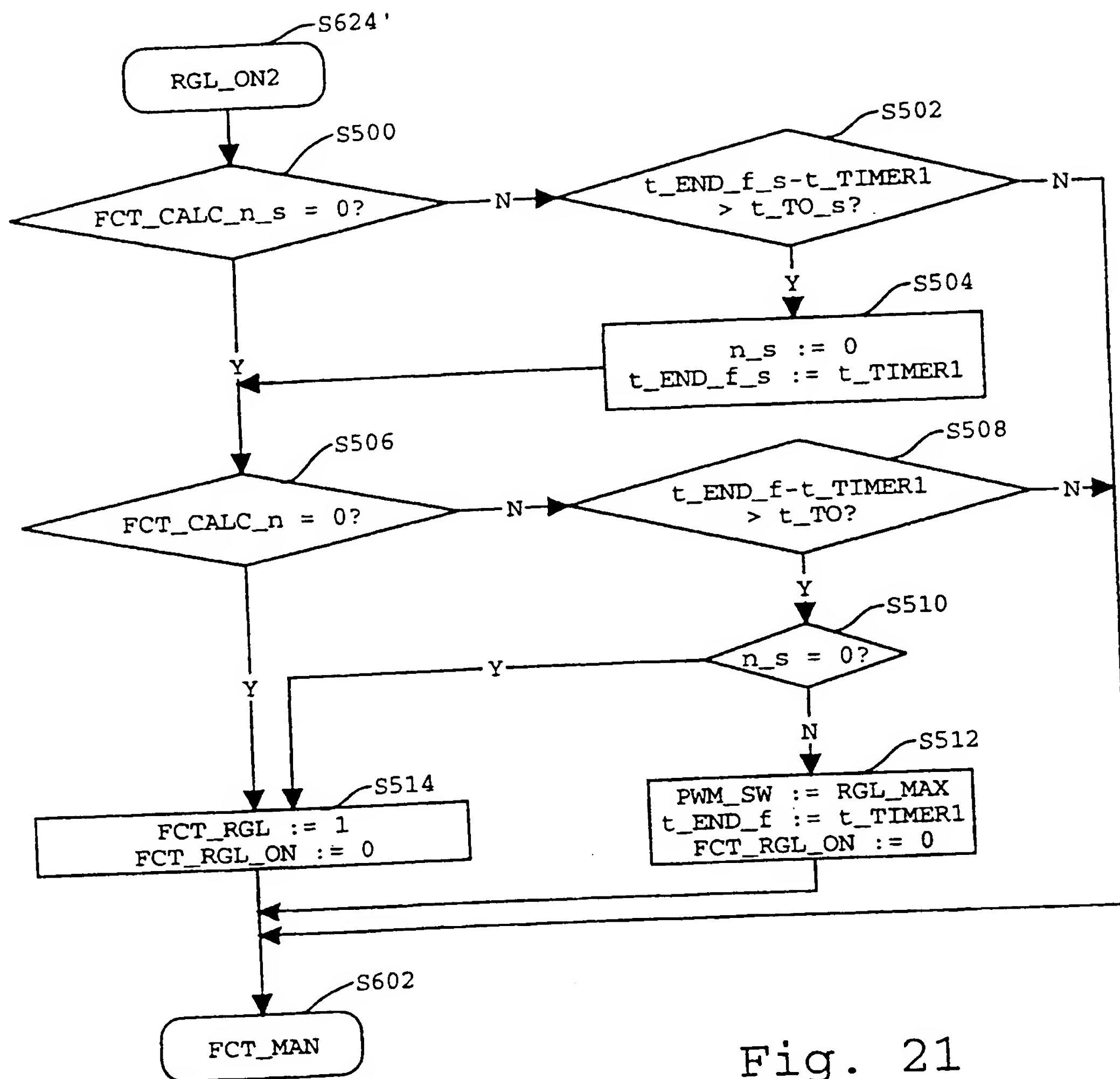


Fig. 21

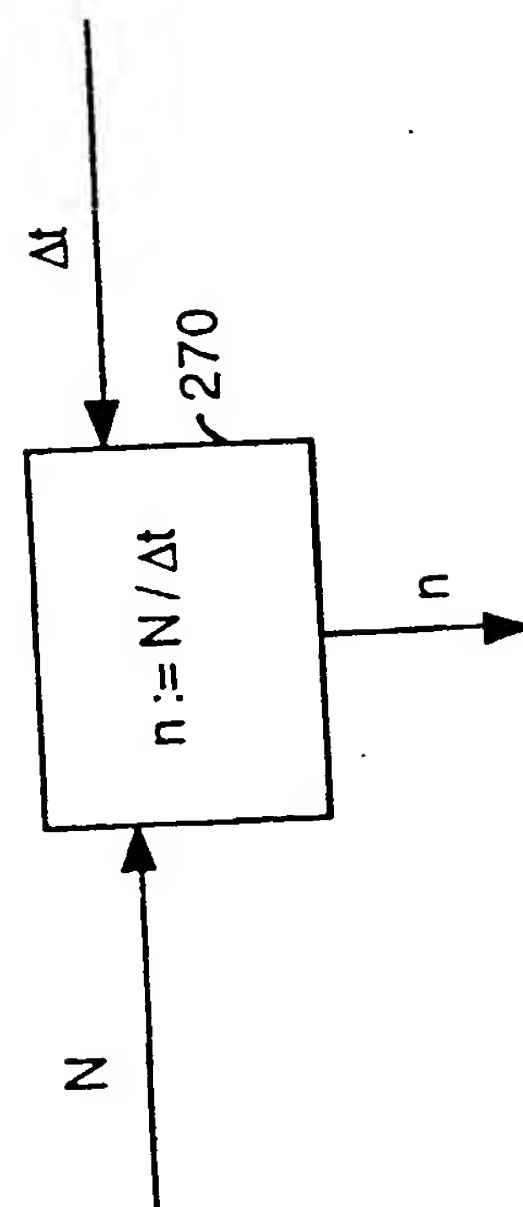


Fig. 23

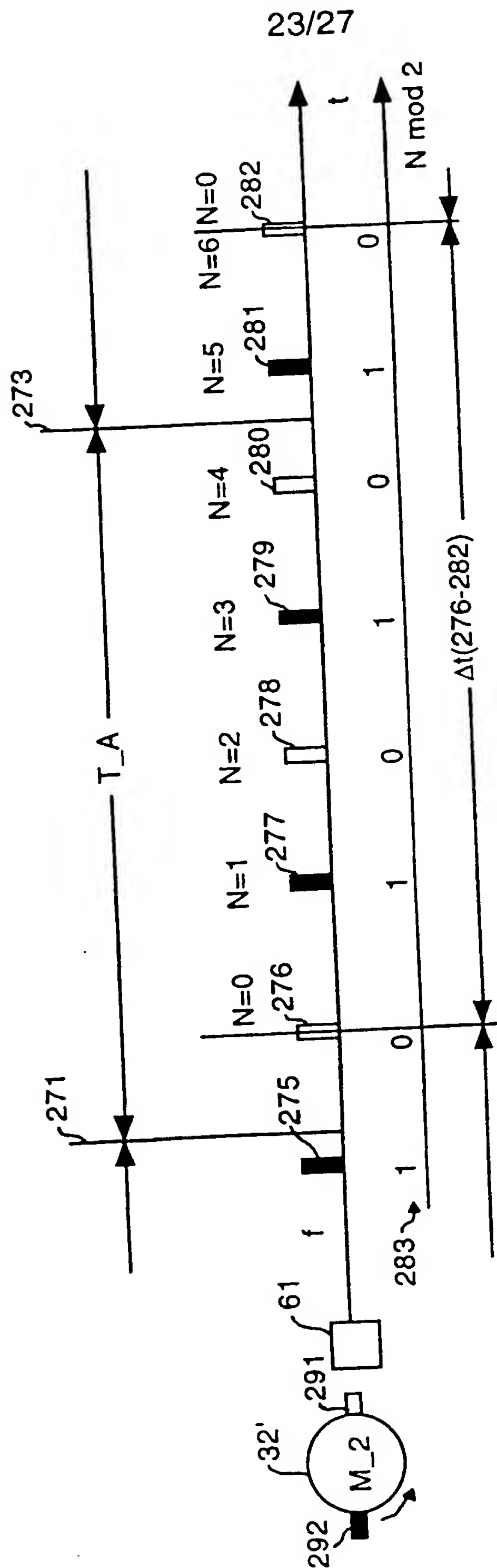


Fig. 24

24/27

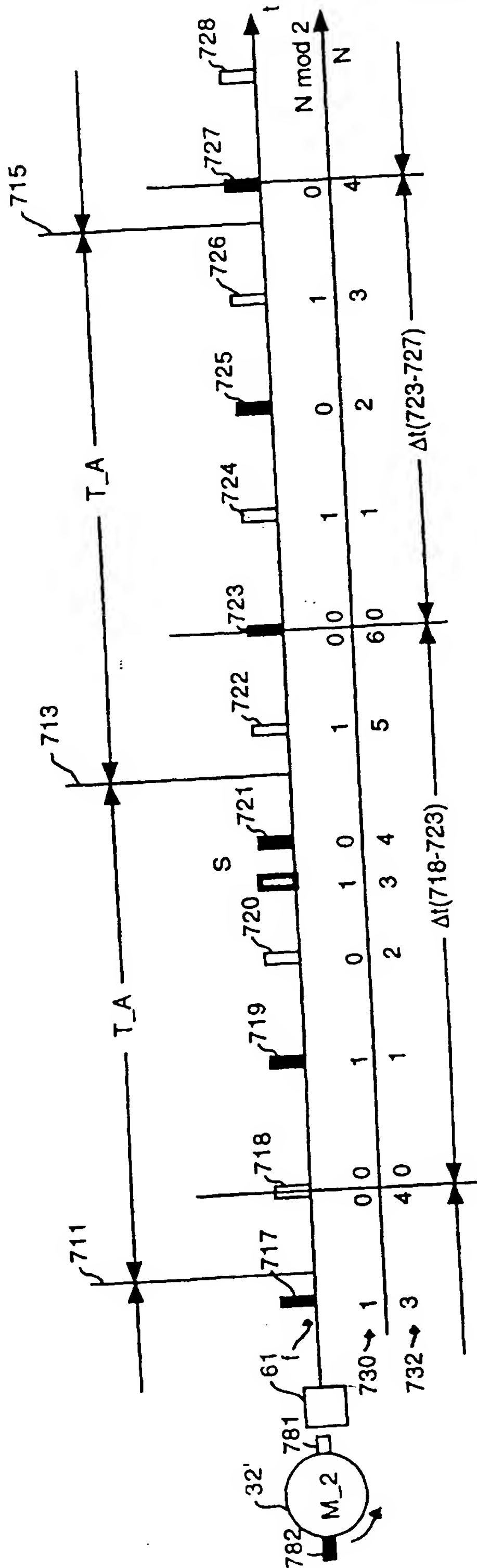


Fig. 25



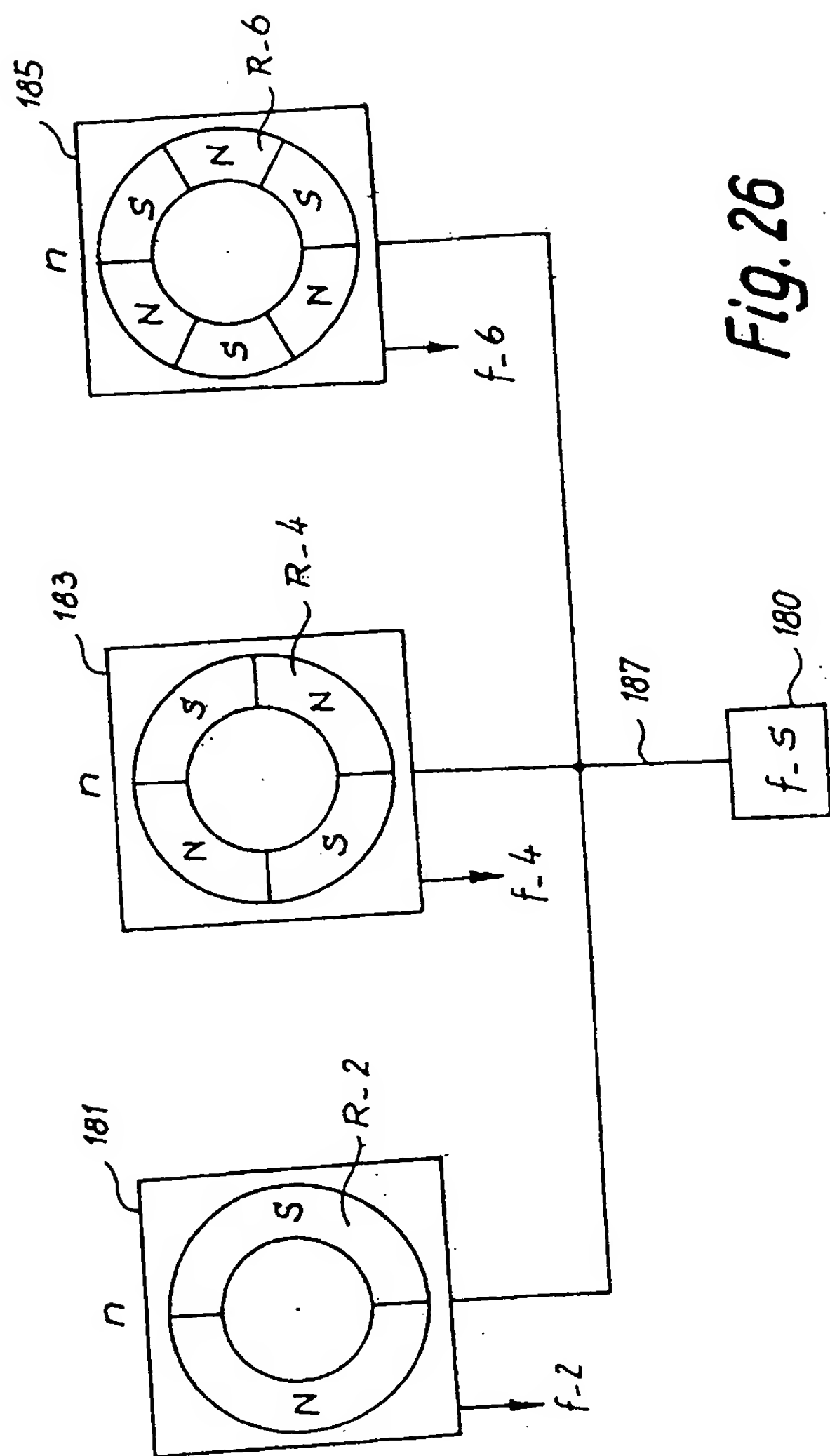


Fig. 26

26/27

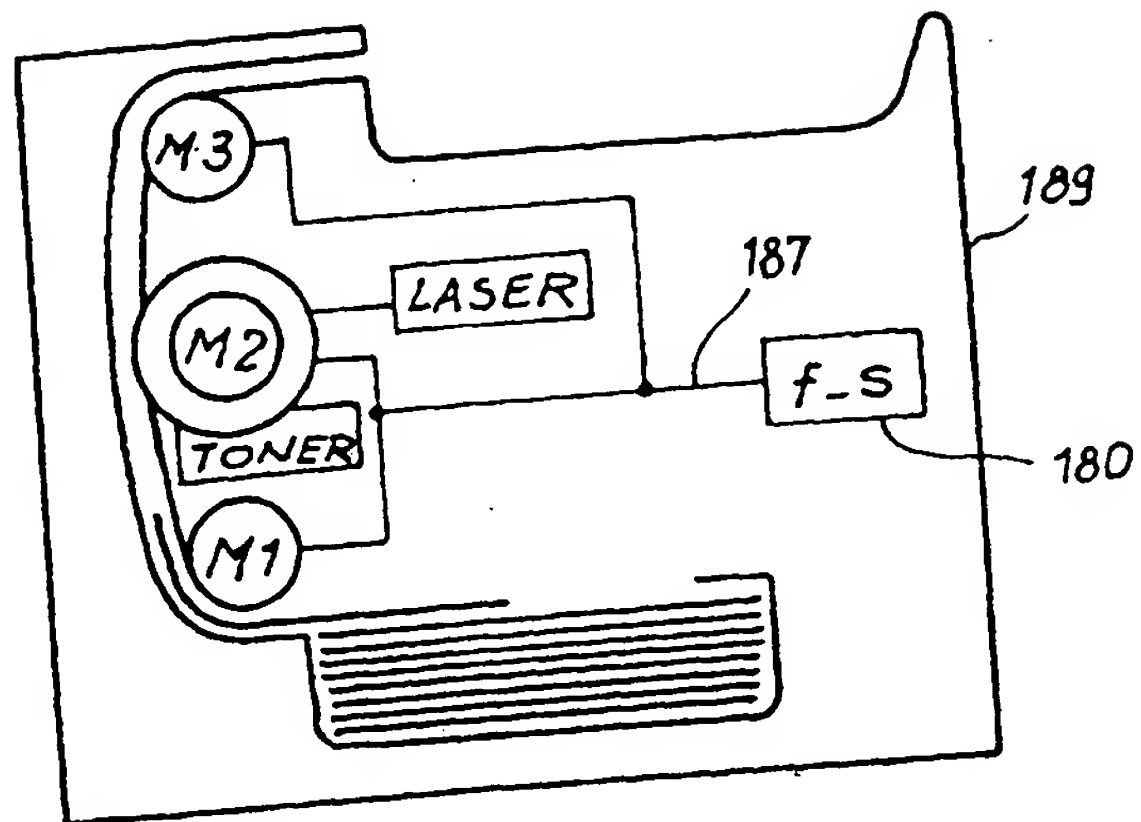


Fig. 27

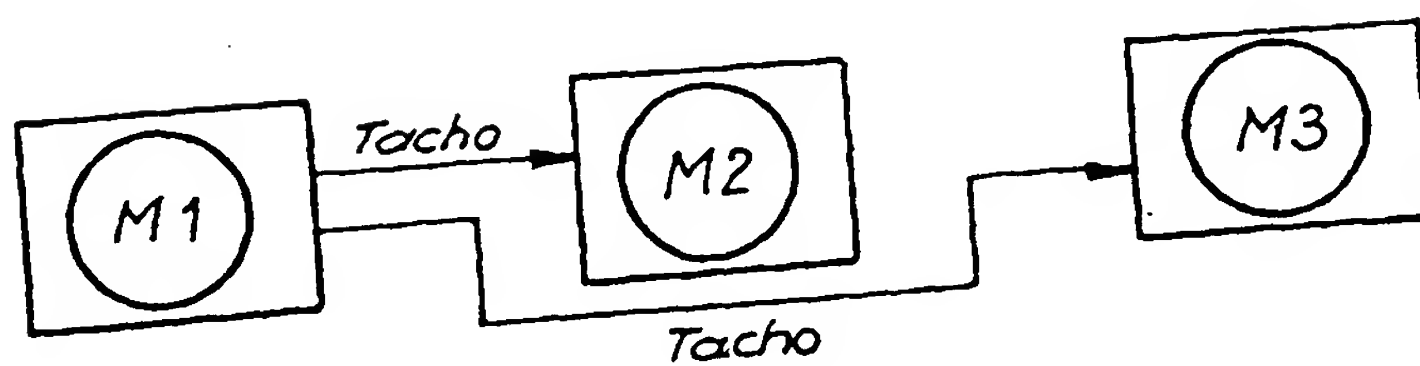


Fig. 28

